



Новые данные о колхидских амфорах

НА МАТЕРИАЛАХ ТАНАИСА, ГОРГИПИИ, ЕЛИЗАВЕТОВСКОГО ГОРОДИЩА И
ПОСЕЛЕНИЙ «ЦКУРГИЛ» И «БАЛАН» (АБХАЗИЯ).



Авторы доклада:

Герасимова В.В. (НИУ ВШЭ), Ильяшенко С.М. (ИА РАН), Клочко А.А. (НИУ ВШЭ),
Митрохина К.С. (НИУ ВШЭ), Науменко С.А. (ГБУК РО «Донское наследие»).

Москва
2023



**Исследование амфорной тары, строительной и кухонной керамики
осуществлено при поддержке грант-программы Научного фонда НИУ ВШЭ.
№ проекта 24-00-048**
**«Междисциплинарное исследование торгово-экономических связей античных
городов Северного Причерноморья и Колхиды в III в до н.э.-II в.н.э.)**

История изучения амфор колхидского круга производства

➤ С 1950-х гг. XX в. коричневоглиняные амфоры начали выделяться исследователями в слоях с IV в. до н.э. по средневековье как отдельная группа керамики. Они встречались на памятниках в северной и в восточной части Причерноморья. Их происхождение приписывалось различным регионам. Например, И.Б.Зеест (1951,1960) предполагала, что они произошли из южной части Черного моря, в то время как Ю.Г. Виноградов и Н.А. Онайко (1975) связывали некоторые из них с Гераклеей, а другие - с Колхидой.

➤ По мнению О.Д. Лордкипанидзе (1966), а позже Г.Р. Цецхладзе (1992,1993,1999), форма амфор и состав глины указывали исключительно на Кавказский регион. Тогда как И.Т. Кругликова (1966,1970) предположила, что образцы I и II вв.н.э., найденные в Горгии, не были произведены в Колхиде, а лишь имитировали сосуды из коричневой глины колхского производства I до н.э. - I в.н.э. Этой точки зрения в своих работах придерживается и Е.М. Алексеева (1992, 1997, 2012).

➤ Ближе всех к решению вопроса о месте производства коричневоглиняных амфор подошел С.Ю. Внуков. Им была разработана типология коричневоглиняных амфор (1992, 1993, 2003, 2009). С помощью петрографических исследований ему удалось выделить два возможных производственных региона: Восточную и Юго-Восточную часть Черного моря (2012). Однако, как отмечает исследователь, полученных результатов все же недостаточно для окончательного решения вопроса.

➤ К вопросу определения места производства амфор колхидского круга вновь обратились в 2018 г. Сотрудниками польско-грузинской экспедиции в Гонию (Асарос) был проанализирован химический состав амфорного материала и строительной керамики местного производства (2018,2019). Полных совпадений выявлено не было.



Внуков С.Ю.



Цецхладзе Г.Р. Лордкипанидзе О.Д.



Онайко Н.А.



Алексеева Е.М.



Кругликова И.Т.



Зеест И.Б.



Виноградов Ю.Г.



Paulina Komar



Malgorzata Daszkiewicz



Radoslaw Karasiewicz-Szczypiorski



Shota Mamuladze

* Фотоматериалы находятся в свободном доступе в сети Интернет.

Краткая характеристика исследуемых памятников



Танаис - античный эмпорий (первая четверть III в. до н.э. - середина V в.н.э.). Расположен на правом берегу реки Мёртвый Донец, западная окраина Недвиговского сельского поселения (Недвиговка, Мясниковский р-н) в 36 км от города Ростова-на-Дону (Ростовская область).

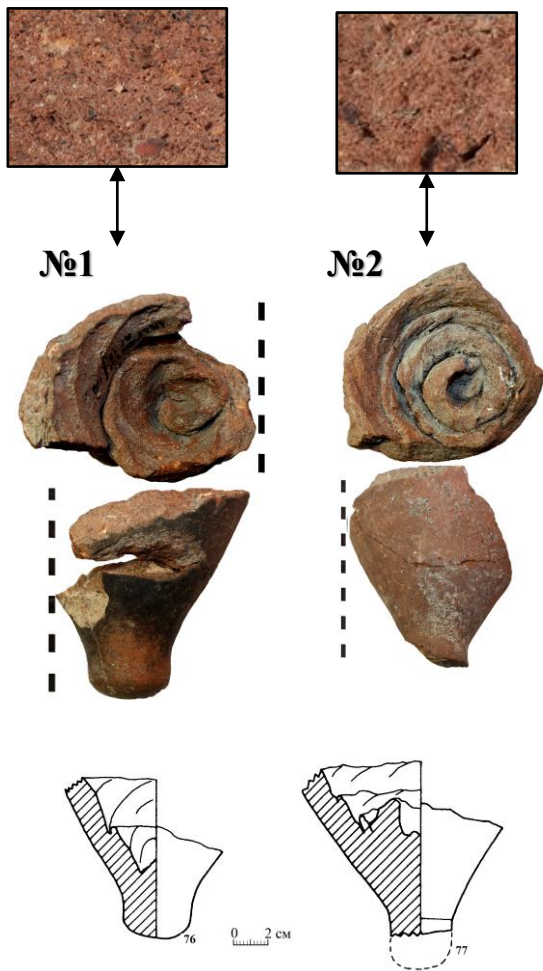
Елизаветовское городище - античный эмпорий (первая четверть VI в. до н.э. - первая половина III в. до н.э.). Расположен в дельте реки Дон, западная окраине хутора «Городище», севернее станицы Елизаветинской. (Азовский р-н,) в 4 км от г. Ростова-на-Дону (Ростовская область).

Горгиппия - античный эмпорий (IV в. до н.э. - III в. н.э.) Расположен на морском побережье, в пределах современного г. Анапа (Краснодарский край).

Памятник археологии «Цкургил» - (IV в. до н.э.- конец II в. до н.э.) Расположен на территории ныне заброшенного пос. Цкургил (Цкургили, Очамчирский р-н., Абхазия), на первой надпойменной террасе левого берега безымянной реки в 0.2 км к северу от морского берега.

Памятник археологии «Балан» - (VI в. до н.э.- первая половина III в. до н.э.) Расположен на территории пос. Балан (Балани, Очамчирский р-н., Абхазия), в 0.2 км к северу от морского берега.

Амфоры колхидского круга отобранные для исследования из собрания музея-заповедника «Танаис»



№№ 1,2.

Амфоры колхидского круга производства эллинистического времени.
Тип по типологии: И.Б.Зеест №59, по типологии С.Ю.Внукова Кх .IB¹ (?)

Дата: Вторая половина III в. до н.э.

Цвет глин.теста: Munsell 10R 3/3. *

Фрагменты амфор этого типа встречаются редко в эллинистических слоях Танаиса III-I вв. до н.э., главным образом под уличным полотном, а также в переотложенных слоях на территории городища. Ножки аналогичные по форме зафиксированы в материалах городищ и поселений Западного и Северо-Западного Крыма (Внуков/Цецхладзе, 1991, 172-174, рис. 1, 4-9).

№3.

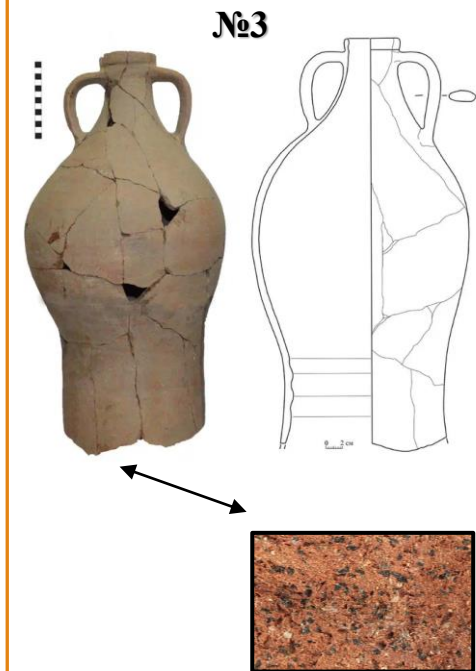
Амфора колхидского круга производства римского времени.

Тип по типологии: И.Б.Зеест №60, по типологии С.Ю.Внукова Кх .IB² (?)

Дата: I – II вв. н.э.

Цвет глин.теста: Munsell 10R 5/6.

Встречаются в Танаисе практически во всех слоях и закрытых комплексах I – середины II вв. н.э. на территории городища, а также в мусорных свалках. Аналогичные формы редко встречаются в Ольвии в комплексах I в. до н.э. – I в. н.э. (Крапивина, 1993, 96, рис. 29, 37), чаще их находят в Горгииппии в комплексах домов, погибших в первой половине I в. н.э. (Алексеева, 1997, табл. 220)



* Определение цвета глин всех исследуемых изделий произведено при помощи электронного спектроколориметра Munsell soil color.

Амфора колхидского круга и тарная керамика отобранные для исследования из собрания музея кафедры археологии ЮФУ:

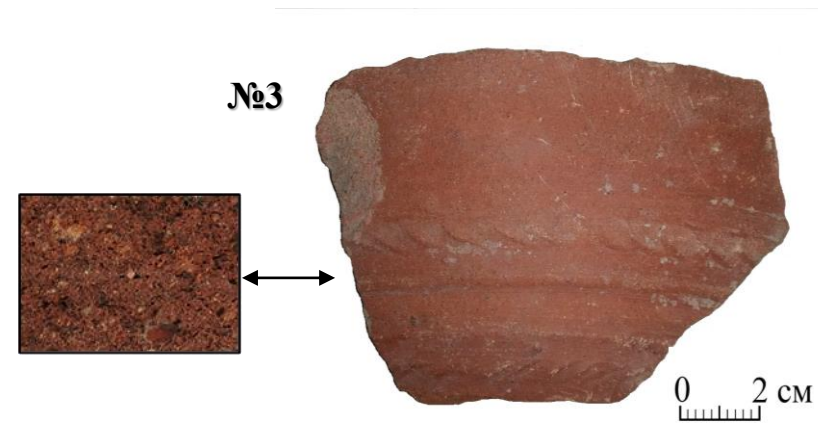
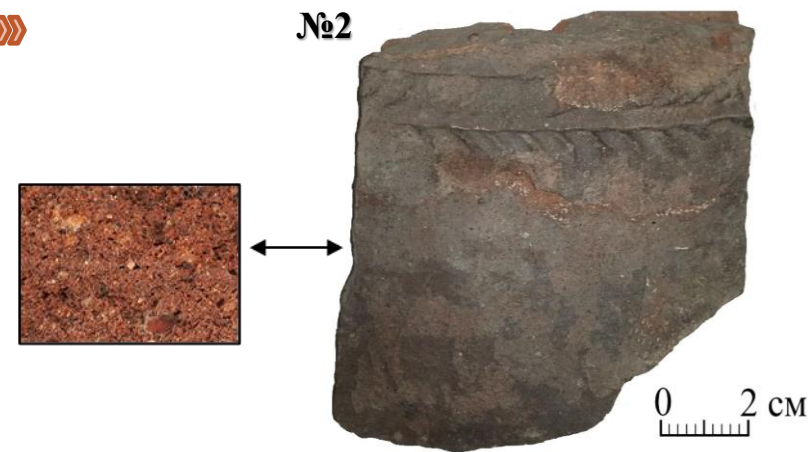
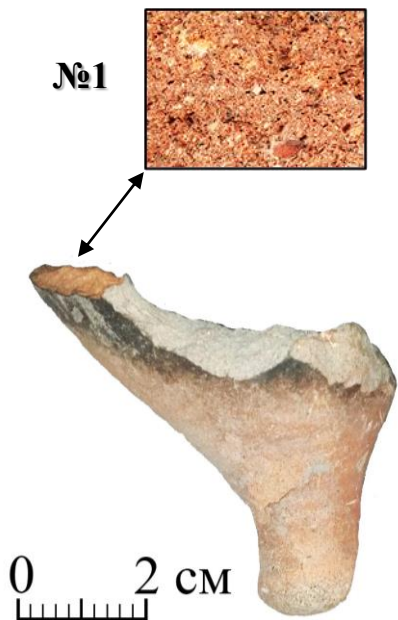
Археологический памятник «Елизаветовское городище»

№1

Амфора колхидского круга производства эллинистического времени.
Тип по типологии: И.Б.Зеест №59, по типологии С.Ю.Внукова Кх .IV¹ (?)
Дата: Вторая половина III в. до н.э. (из слоя)
Цвет глин.теста: Munsell 10R 6/8

№№2,3

Стенки пифоидных сосудов эллинистического времени.
Дата: Вторая половина III в. до н.э. (из слоя)
Цвет глин.теста: Munsell 10R 3/3



Амфоры колхидского круга отобранные для исследования из полевой коллекции экспедиции «Горгиппия» ИА РАН



Амфоры колхидского круга
производства эллинистического
времени.

Тип по типологии: И.Б.Зеест

№59, по типологии

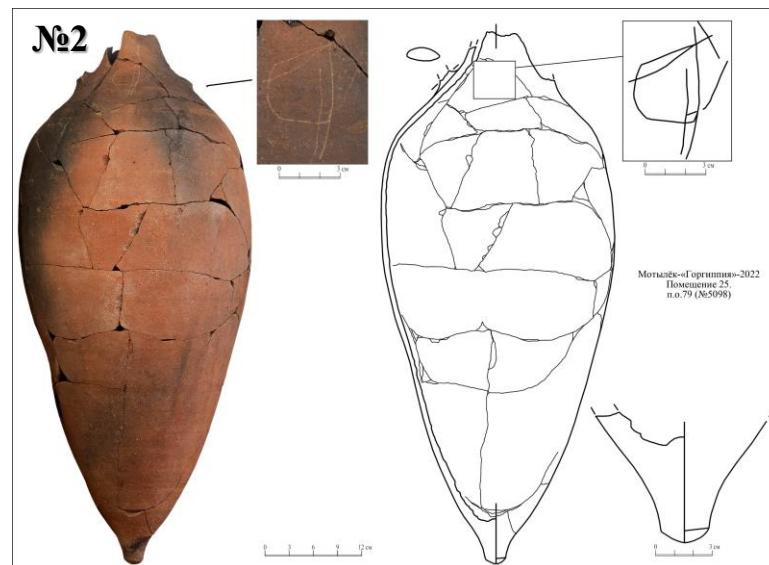
С.Ю.Внукова Кх. IB² (?)

Дата: Вторая половина III

в. до н.э.

Цвет глин.теста: Munsell 10R

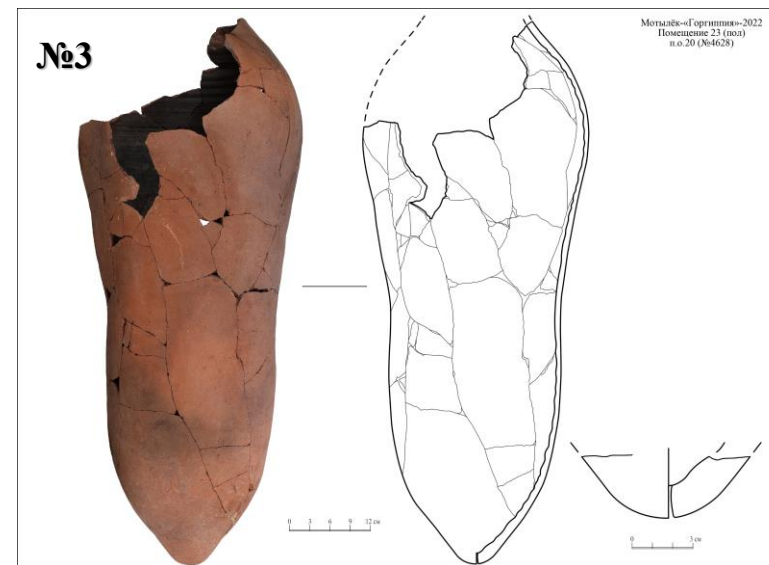
6/6



Амфора колхидского круга
производства римского
времени.

Дата: I – II вв. н.э.

Цвет глин.теста: с внешней
стороны Munsell 2.5YR 7/6.; с
внутренней стороны Munsell
2.5YR 2.5/1



Амфора колхидского круга
производства римского
времени.

Дата: I – II вв. н.э.

Тип по типологии:

С.Ю.Внукова Кх. IC² (?)

Цвет глин.теста: Munsell
10R 4/8

Строительная, производственная и кухонная керамика отобранные для исследования

из полевой коллекции экспедиции «Горгиппия» ИА РАН



№6



№7



Строительная керамика I-II вв.н.э.:

№4 – солен с клеймом «Горυιτ», фрагмент.

Цвет глин.теста: Munsell 10R 3/3

№5 – калиптер, фрагмент.

Цвет глин.теста: Munsell 10R 6/8

Производственная керамика I в.н.э.:

№6 – фрагмент формы для изготовления терракотовой статуэтки.

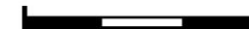
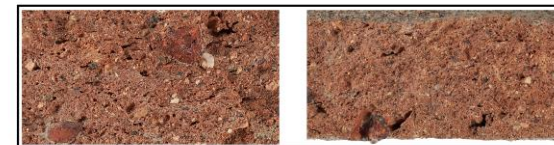
Цвет глин.теста: внешний край Munsell 10R 7/6.; центральная часть
Munsell 2.5YR 7/6

Кухонная керамика III в.н.э.:

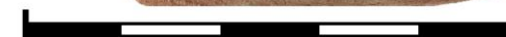
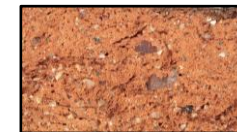
№7 – миска с невысоким венчиком-бортиком, плоскодонная.

Цвет глин.теста: внешний край Munsell 10R 2.5/2.; центральная
часть Munsell 10R 3/3

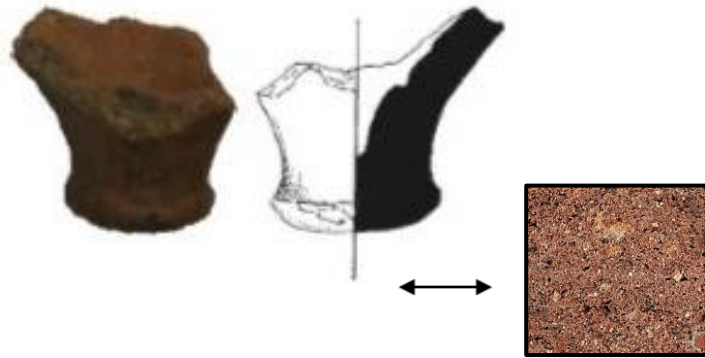
№4



№5



Амфоры колхидского круга, тарная и производственная керамика отобранные для исследования из полевой коллекции «Кодорской экспедиции» НИУ ВШЭ. Поселения «Цкургил» и «Балан»



№1

№1

Амфора колхидского круга производства эллинистического времени.

Тип по типологии: по типологии С.Ю.Внукова Кх .IA (?)

Дата: Вторая половина IV в. до н.э. (из слоя)

Цвет глин.теста: Munsell 10R 6/8

№.№2,3

№2- Верхняя часть керамической формы «соляной ванночки» со следами текстиля.

Дата: IV-первая половина III в. до н.э. (из слоя)

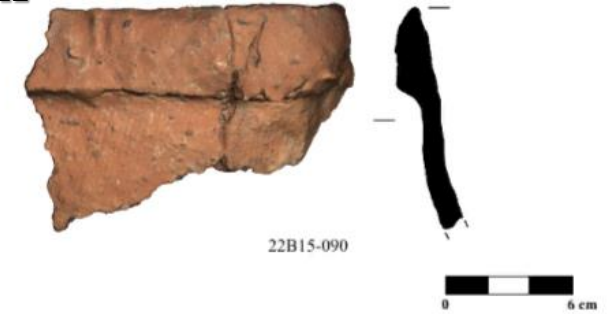
Цвет глин.теста: Munsell 2.5YR 6/6

№3 – Стенка пифоидного сосуда, орнаментированная.

Дата: IV-первая половина III в. до н.э. (из слоя)

Цвет глин.теста: Munsell 2.5YR 2.5/2

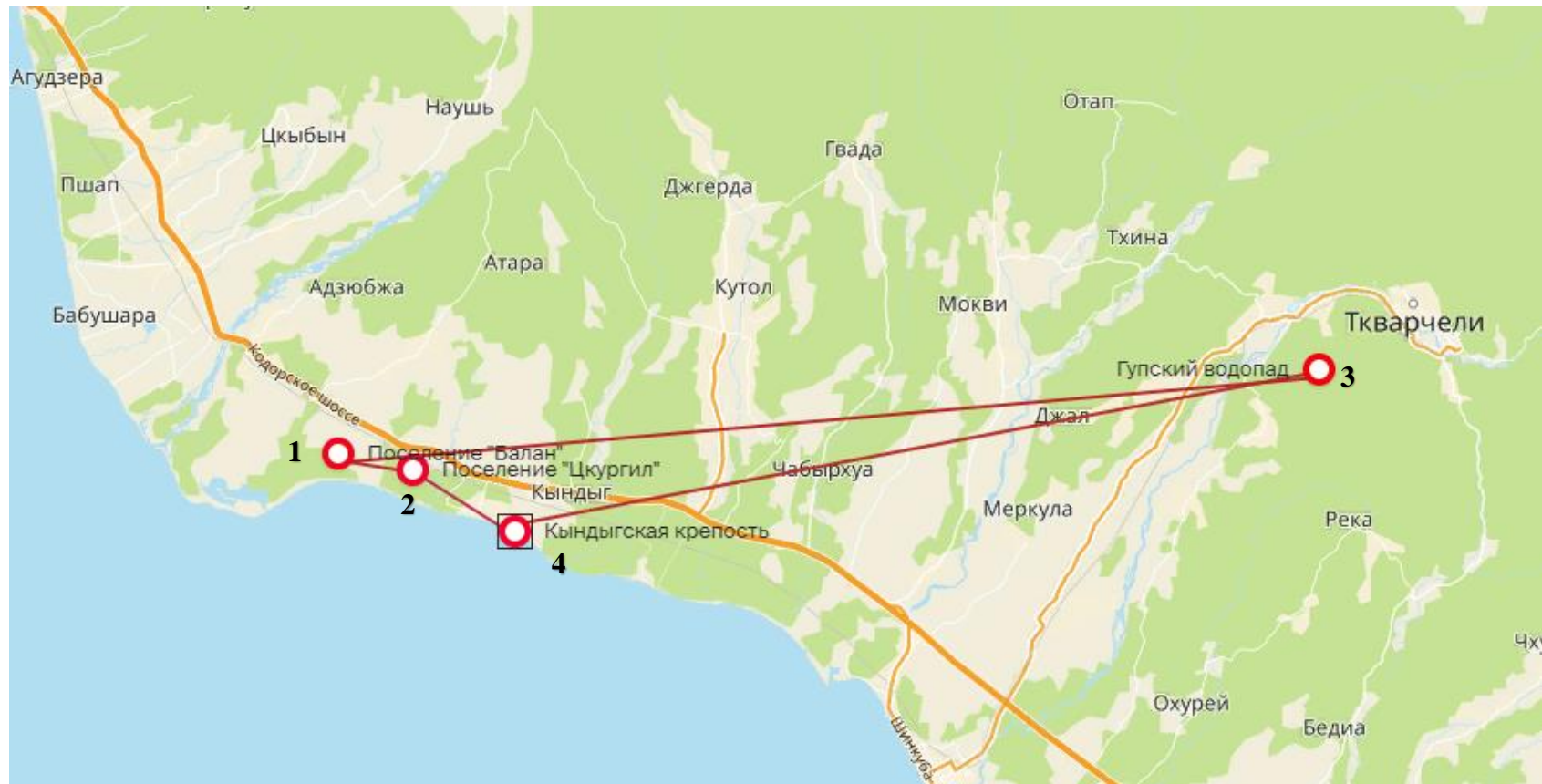
№2



№3



Места забора глин для проведения лабораторных исследований



Абхазия.

- 1,2. Глины близь поселений «Балан» и «Цкургил»
3. Глины в долине горной реки у водопада Гуп
4. Глины из естественного карьера у Кандыгской крепости

Типизация материала керамики – выбор и сравнение применяемых аналитических методов и междисциплинарных методик



- Какой метод археологической петрографии «лучше»?
- Какой комплекс методов наиболее информативен?
- Достаточен ли только петрографический анализ?



ПРОБЛЕМЫ

1. Выделение типоморфных минералов.
2. Оценка «веса» каждого из минеральных видов (что важнее – количество порообразующих минералов или присутствие редких акцессорных минералов?)
3. Разделение минералов первичного глиняного материала и новообразованных при обжиге керамики.
4. Учет диагенетического изменения материала керамики при захоронении в культурном слое.

**Данные рентгено-фазового анализа образцов античной керамики
Из Танаиса, Горгиппии и Елизаветинского городища**

	B	C	D	E	F	G	H	I	J	K
	Валовые пробы. Результаты рентгенофазового анализа									
№№ обр	слюда	кварц	КПШ	плагио- клас	диопсид	кальцит	брукит	гематит	сумма	
1	4,5	80	4	8,6	0	0	0,3	2,6	100	
2	2,1	74,5	2,3	8,5	10,7	0	0,5	1,4	100	
3	0	43,7	0	11,1	39,7	0	2,7	2,8	100	
4	0	76,3	0	5,6	15,7	0	1,7	0,7	100	
5	9,2	84,1	3,4	0	0	3,3	0	0	100	
6bl	0,8	88,6	0	9,7	0	0	0,8	0,1	100	
6roze	0	47,3	23,4	9,1	16,4	0	2,3	1,5	100	
7	0	61,2	7,9	15,7	7,8	0	4,7	2,7	100	
8	0	34,7	0	26,6	32,2	0	3,9	2,6	100	
9	0	47,3	0	11,7	32,9	0	4,7	3,4	100	
10	0	70,6	5,9	4,1	19,1	0	0,2	0,1	100	
11	0	79	4,9	7,4	3,8	0	3,2	1,7	100	
12	0	65	10,3	12,3	7	0	1,5	3,9	100	
13	4	66,3	0,9	7,8	18,7	0	0,1	2,2	100	
14	0	33,8	18,1	24,1	19,3	0	2,6	2,1	100	
Диопсид – полевошпат – кварцевая керамика с брукитом и гематитом, иногда слюды										

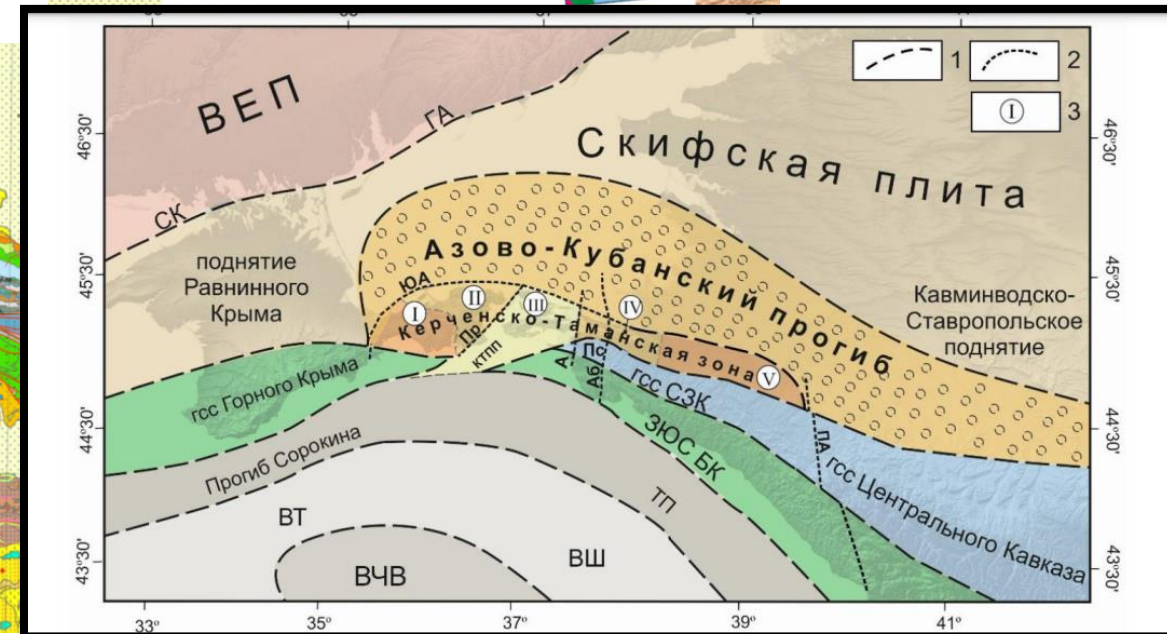
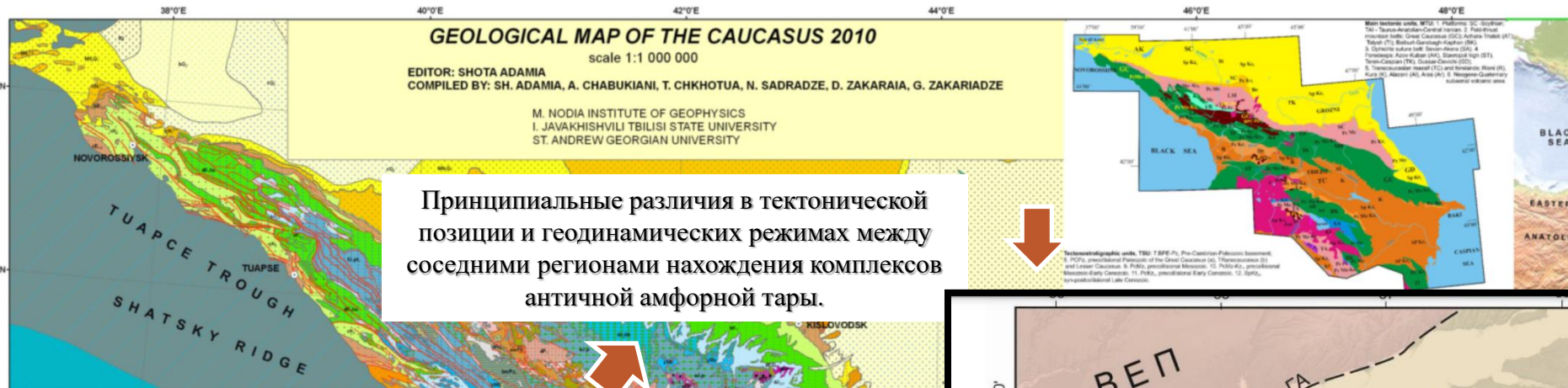
Лейкократовые
исходные минералы –
в данном случае
индикаторы
седиментационной
обстановки

Темноцветные
минералы – в данном
случае –
новообразованные при
обжиге (?)

Минерал –
хромофор,
модифицирован
при обжиге из
исходных
соединений Fe

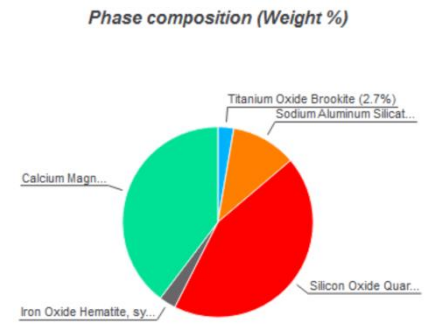
Геологические обстановки формирования глинистого сырья.

- Седиментационные условия – дальность транспорта обломочного материала..
- Типоморфные комплексы пород, диагностируемые в составе керамики (оливин, кварцит, граниты, микрофоссилии, рудные минералы и др.)



1. Диопсид – полевошпат – кварцевая керамика с брукитом и гематитом данные рентгено-фазового анализа

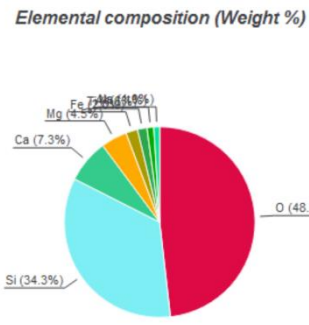
Обр.3-II Венчик амфоры “Колхида”. Горгиппия



Содержание основных петрогенных окислов

Index	Amount (%)	Name	Formula sum
A	2.7	Titanium Oxide Brookite	Ti O ₂
B	11.1	Sodium Aluminum Silicate Albite high	Na (Al Si ₃ O ₈)
C	43.7	Silicon Oxide Quartz, syn	Si O ₂
D	2.8	Iron Oxide Hematite, syn	Fe ₂ O ₃
E	39.7	Calcium Magnesium Silicate Diopside	Ca Mg Si ₂ O ₆

Amounts calculated by RIR (Reference Intensity Ratio) method

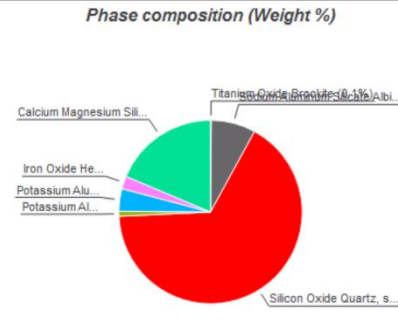


Элементный состав кристаллической фазы

Element	Amount (weight %)
O	48.2% (*)
Si	34.3%
Ca	7.3%
Mg	4.5%
Fe	2.0%
Ti	1.6%
Al	1.1%
Na	1.0%
*LE (sum)	48.2%

Обр.13-II

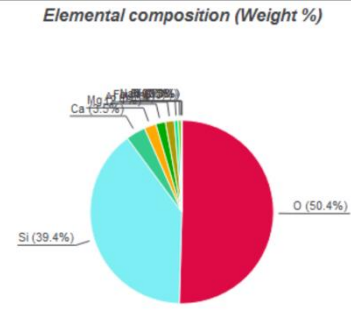
Ножка амфоры “Колхида”.
Елизаветинское городище



Содержание основных петрогенных окислов

Index	Amount (%)	Name	Formula sum
A	0.1	Titanium Oxide Brookite	Ti O ₂
B	7.8	Sodium Aluminum Silicate Albite high	Na (Al Si ₃ O ₈)
C	66.3	Silicon Oxide Quartz, syn	Si O ₂
D	0.9	Potassium Aluminum Silicate Microcline maximum	K Al Si ₃ O ₈
E	4.0	Potassium Aluminum Silicate Hydrate Muscovite	K Al ₂ (Si ₃ Al) O ₁₀ (O H) ₂
F	2.2	Iron Oxide Hematite, syn	Fe ₂ O ₃
G	18.7	Calcium Magnesium Silicate Diopside	Ca Mg Si ₂ O ₆

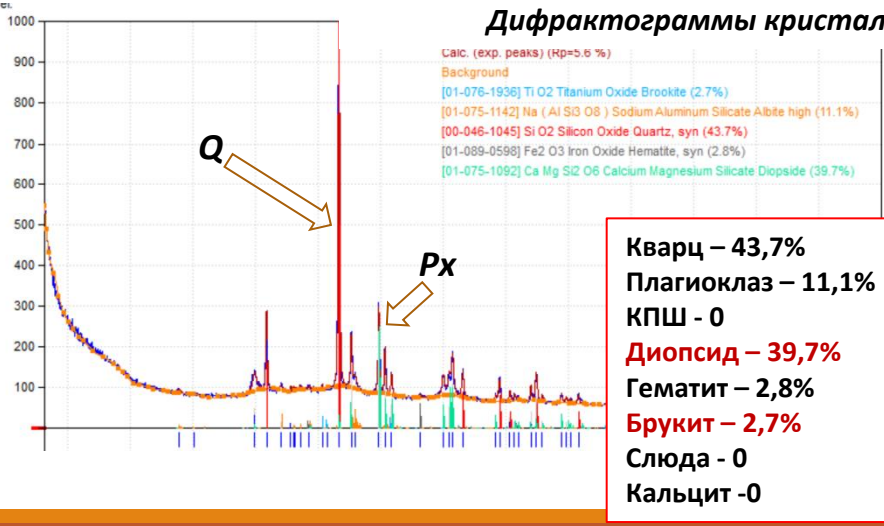
Amounts calculated by RIR (Reference Intensity Ratio) method



Элементный состав кристаллической фазы

Element	Amount (weight %)
O	50.4% (*)
Si	39.4%
Ca	9.5%
Mg	4.5%
Fe	2.2%
K	0.5%
Ti	0.1%
Al	0.0%
*LE (sum)	50.5%

Дифрактограммы кристаллической фазы керамического материала



Кварц – 43,7%
Плаггиоклаз – 11,1%
КПШ - 0
Диопсид – 39,7%
Гематит – 2,8%
Брукит – 2,7%
Слюда - 0
Кальцит - 0

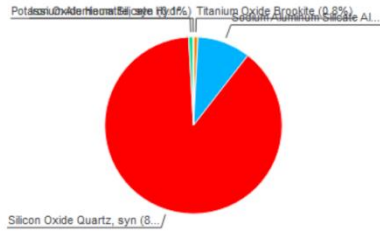


Кварц – 66,3%
Плаггиоклаз – 11,1%
КПШ – 0,9%
Диопсид -18,7%
Гематит – 2,2%
Брукит – 0,1%
Слюда – 4%
Кальцит - 0

Характеристика минеральной фазы образцов керамики Горгиппии и Елизаветинского городища

Analysis Results

Phase composition (Weight %)

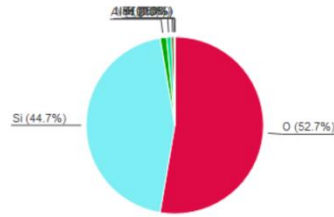


Содержание основных петрогенных окислов

Index	Amount (%)	Name	Formula sum
A	0.8	Titanium Oxide Brookite	Ti O ₂
B	9.7	Sodium Aluminum Silicate Albite high	Na (Al Si ₃ O ₈)
C	88.6	Silicon Oxide Quartz, syn	Si O ₂
D	0.8	Potassium Aluminum Silicate Hydrate Muscovite	K Al ₂ (Si ₃ Al) O ₁₀ (O H) ₂
E	0.1	Iron Oxide Hematite, syn	Fe ₂ O ₃

Amounts calculated by RIR (Reference Intensity Ratio) method

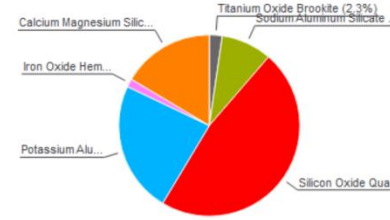
Elemental composition (Weight %)



Элементный состав кристаллической фазы

Element	Amount (weight %)
O	52.7% (*)
Si	44.7%
Al	1.2%
Na	0.8%
Ti	0.5%
K	0.1%
Fe	0.1%
H	0.05%
*LE (sum)	52.7%

Phase composition (Weight %)

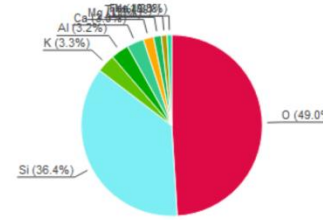


Содержание основных петрогенных окислов

Index	Amount (%)	Name	Formula sum
A	2.3	Titanium Oxide Brookite	Ti O ₂
B	9.1	Sodium Aluminum Silicate Albite high	Na (Al Si ₃ O ₈)
C	47.3	Silicon Oxide Quartz, syn	Si O ₂
D	23.4	Potassium Aluminum Silicate Microcline maximum	K Al Si ₃ O ₈
E	1.5	Iron Oxide Hematite, syn	Fe ₂ O ₃
F	16.5	Calcium Magnesium Silicate Diopside	Ca Mg Si ₂ O ₆

Amounts calculated by RIR (Reference Intensity Ratio) method

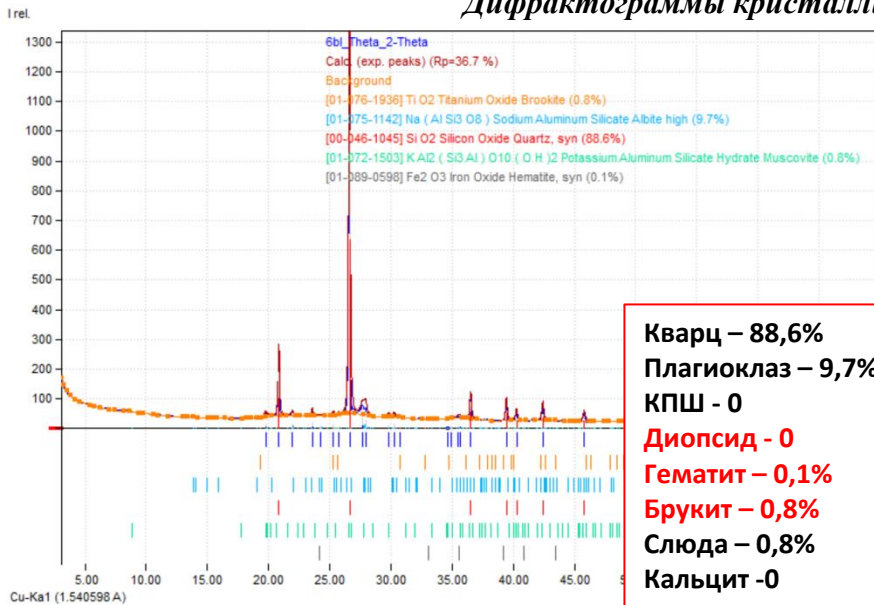
Elemental composition (Weight %)



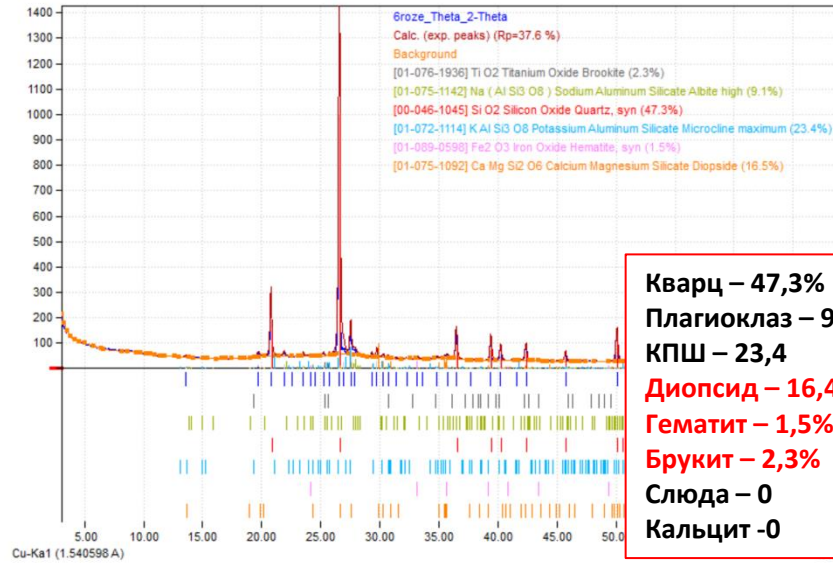
Элементный состав кристаллической фазы

Element	Amount (weight %)
O	49.0% (*)
Si	36.4%
K	3.3%
Al	3.2%
Ca	3.0%
Mg	1.8%
Ti	1.4%
Fe	1.0%
Na	0.8%
*LE (sum)	49.0%

Дифрактограммы кристаллической фазы керамического материала



Кварц – 88,6%
Плаггиоклаз – 9,7%
КПШ - 0
Диопсид - 0
Гематит – 0,1%
Брукит – 0,8%
Слюда – 0,8%
Кальцит - 0



Кварц – 47,3%
Плаггиоклаз – 9,1%
КПШ – 23,4
Диопсид – 16,4%
Гематит – 1,5%
Брукит – 2,3%
Слюда – 0
Кальцит - 0

Различие в минеральном составе кристаллической фазы керамики различной степени обжига

Содержание разрабатываемого регионально-геологического (геоархеологического) подхода к типизации состава керамического материала и определения вероятных районов его античного производства.



1. Аналитика – методом рентгено-фазового анализа.

- Анализ кристаллической минеральной фазы *керамики*
- Анализ минеральной фазы *глин* разных местонахождений
- Анализ *глинистых минералов* керамических глин разных местонахождений.
- Анализ *глинистых минералов* (вторичных диагенетических) керамики.
- Описание петрографических шлифов керамических изделий.

Типизация керамики на основании комплексов исходных, новообразованных и вторичных минералов



2. Регионально-геологический и сравнительно-тектонический анализ

- Строение едIMENTационной провинции или сложнопостроенной области складчатого строения.
- Рассмотрение факторов, определяющих состав и распространение материалов для античного керамического производства.
 - Обстановки формирования, генетические типы глинистых отложений глин.
 - Факторы, влияющие на состав глин, примесей и обломочного материала района.
 - Геологические индикаторы в составе античной керамики.



3. Моделирование керамических технологий,

- Разработка «археологических термометров».
- Эксперименты со стадийным обжигом глинистого сырья предполагаемых районов античного производства
 - Анализ соотношения состав – температура экспериментальных образцов.
Разработка «археологического термометра»
Моделирование минеральных преобразований при обжиге,